

**Сергей А. Лебедев
Андрей Г. Костяной
Евгения А. Костяная
Илья Д. Третьяк**



Геофизический Центр РАН



*Майкопский государственный
технологический университет*



*Национальный исследовательский
университет «МИЭТ»*



*Институт океанологии
им. П.П.Ширшова РАН*

ИССЛЕДОВАНИЕ СЕЗОННОЙ И МЕЖГОДОВОЙ ИЗМЕНЧИВОСТИ ВОЛНОВОГО РЕЖИМА БАРЕНЦЕВ МОРЯ ПО ДАННЫМ СПУТНИКОВОЙ АЛЬТИМЕТРИИ



Аннотация

Спутниковая альtimетрия является очень полезным инструментом для мониторинга как уровня, так и волнового режима Баренцева моря благодаря своей способности получать данные в облачных условиях и в отсутствие света (полярная ночь).

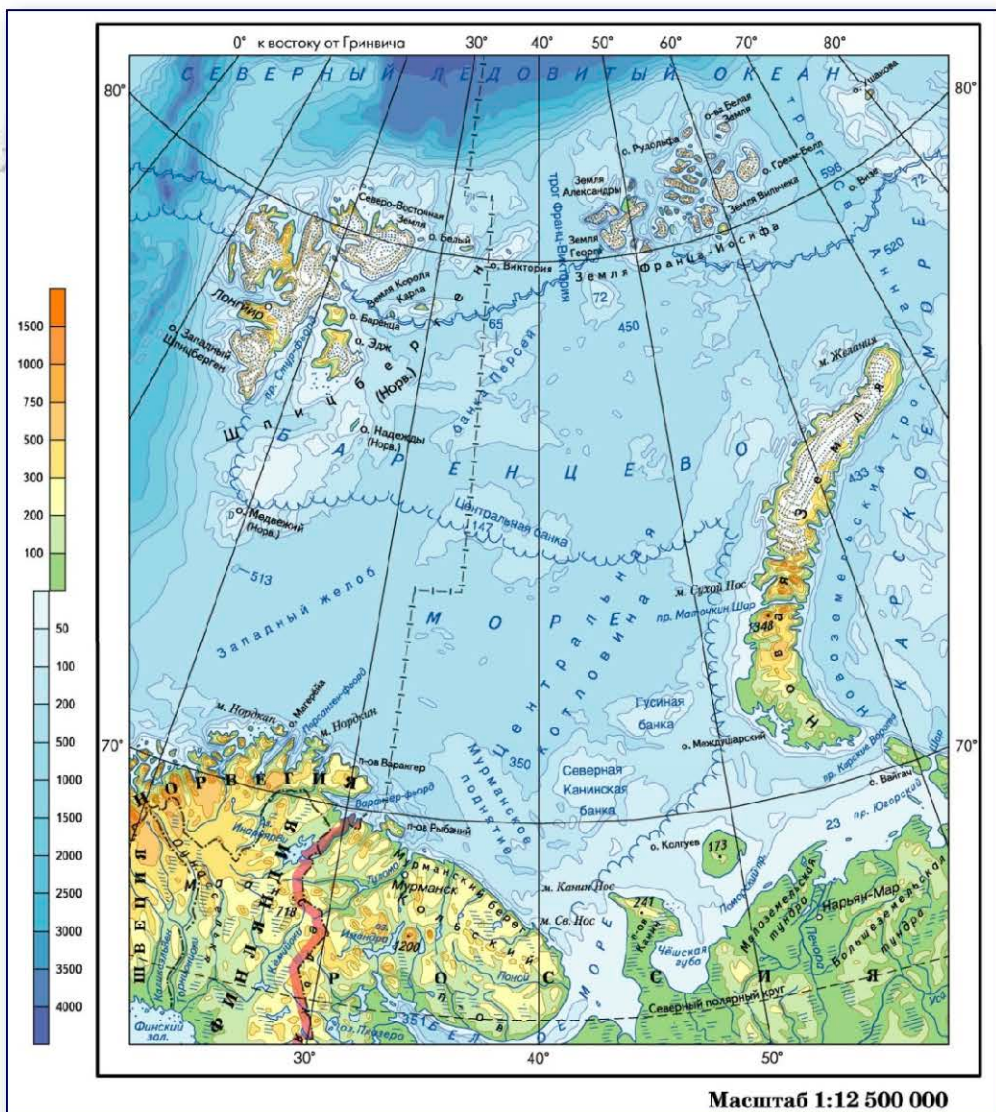
На основе данных, полученных со спутников ERS-1/2, EnviSat, CryoSat-2, SARAL/AltiKa и Sentinel-3A/3B, были исследованы сезонная и межгодовая изменчивости значимых высот волн (Significant Wave Height – SWH), на акватории моря в период отсутствия ледяного покрова за период 1992-2020 гг.

На первом этапе для того, чтобы исключить систематические ошибки в данных проводилось сравнение альtimетрических измерений с результатами модельных расчетов, представленных в волновом реанализе ARCTIC_MULTIYEAR_WAV_002_013, в котором представлены результаты расчетов по модели WAM с пространственным разрешением ~ 3 км временным шагом 1 час начиная с 1999 года по настоящее время. В качестве атмосферного форсинга использовался реанализ атмосферы ERA-5 ECMWF.

Общая климатическая тенденция снижения значимых высот волн в Баренцевом море имеет тенденцию к снижению -0,001 м/год.



Баренцево море



Баренцево море расположено на северо-европейском шельфе, почти открытое к Центральному арктическому бассейну и открытое к морям Норвежскому и Гренландскому, оно относится к типу материковых окраинных морей.

Это одно из самых больших по площади морей.

Его площадь — 1 424 000 км², объем — 316 000 км³, средняя глубина — 222 м, наибольшая глубина — 513 м.



Моделирование волнового режима

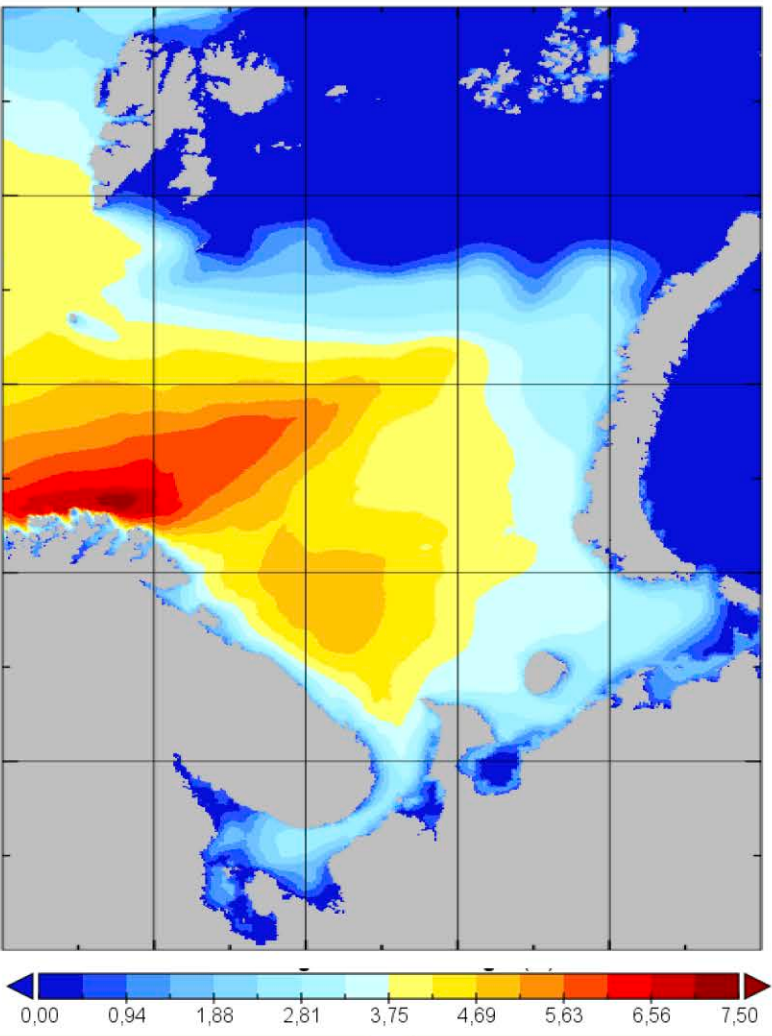
В настоящее время существует большое количество различных моделей волнения Черного моря, которые представляют собой адаптацию основных дискретных спектральных моделей.

Среди таких моделей наиболее широкое распространение получили следующие:

- WAM (Wave Model) разработана международной группой ученых WAMDI (Wave Modeling Group) в 1988 г. Применяется в оперативной практике Европейского центра среднесрочных прогнозов погоды (European Centre for Medium-Range Weather Forecasts – ECMWF).
- WaveWatch разработана в Национальном центре прогнозирования окружающей среды США (National Centers for Environmental Prediction – NCEP) и используется для диагноза и прогноза волнения в центре прогнозов Национальной службы погоды США (National Weather Service – NWS).
- SWAN (Simulating Waves Near Shore) создана в Дельфтском технологическом институте (Нидерланды) и предназначается для расчета волн в мелководных прибрежных районах.



Волновой реанализ ARCTIC_MULTIYEAR_WAV_002_013



В волновом реанализе
ARCTIC_MULTIYEAR_WAV_002_013
представлены результаты расчетов по
модели WAM с пространственным
разрешением ~ 3 км временным шагом
1 час начиная с 1999 года по настоящее
время. В качестве атмосферного форсинга
использовался реанализ атмосферы
ERA-5 ECMWF.

*Значимые высоты волн по данным
волнового реанализа на 1 января 1993 00:00.*

Основы статистического анализа результатов калибровки значимых высот волн

Анализ результатов калибровки SWH выполнялся на основе следующих статистических характеристик разностей между данными спутниковой альтиметрии и измеренными значениями волномерными буями или результатам модельных расчетов:

- средние высоты волн, измеренными значениями волномерными буями или рассчитанные по модели:

$$MH = \frac{1}{N} \sum_{i=1}^N H_i,$$

- средние высоты волн, рассчитанные по данным альтиметрических измерений:

$$Mh_{swh} = \frac{1}{N} \sum_{i=1}^N h_{swh_i},$$

- среднее отклонение разницы измерений (*Mean Estimate – ME* или *bias*):

$$ME = \frac{1}{N} \sum_{i=1}^N (H_i - h_{swh_i}),$$

- стандартное отклонение (*Standard Deviation – SD*) разницы измерений:

$$SD = \sqrt{\frac{1}{N-1} \sum_{i=1}^N (H_i - h_{swh_i} - ME)^2},$$



Основы статистического анализа результатов калибровки значимых высот волн

- среднеквадратичная ошибка (*Root Mean Square Error – RSME*):

$$RMSE = \sqrt{ME^2 + SD^2},$$

- индекс рассеяния или индекс дисперсии (*Scatter Index – SI*):

$$SI = RMSE/Mh_{swh},$$

- коэффициент корреляции:

$$R = \frac{\sum_{i=1}^N (H_i - MH)(h_{swh_i} - Mh_{swh})}{\sqrt{\sum_{i=1}^N (H_i - MH)^2 (h_{swh_i} - Mh_{swh})^2}},$$

- коэффициенты линейной регрессии:

$$h_{swh_model} = b + a \cdot h_{swh_alt},$$

- коэффициент детерминации:

$$R^2 = 1 - \frac{\sum_{i=1}^N (h_{swh} - f(h_{swh}))^2}{\sum_{i=1}^N (h_{swh} - \bar{h}_{swh})^2},$$

где $f(h_{swh})$ – значение SWH, рассчитанной по линии регрессии. В случае двух переменных коэффициент детерминации равен квадрату коэффициента корреляции.



Калибровка SWH по данным альтиметрических измерений спутников

Комплексный анализ показывает, что расчеты по модели WAM реанализа волнового поля хорошо согласуются с альтиметрическим измерениями. Это позволяет провести калибровку SWH по данным альтиметрических измерений спутников ERS-1/2, EnviSat, CryoSat-2, SARAL/AltiKa и Sentinel-3A/3B. Для этого первоначально была проведена фильтрация данных альтиметрических измерений SWH.

- 1. Использовались данные односекундного осреднения, которые формируются на основе 0,1 или 0,05 секундных данных**
- 2. Отбрасывались данные в случае проведения измерений над сушей и льдом с использованием соответствующего флага в исходных данных. Дополнительно использовалась маска «вода–суша», построенная по цифровой модели рельефа ЕТОРО1 с учетом параметров модели волнения, которая использовалась при создании волнового реанализа .**
- 3. Отбрасывались данные измерений на расстоянии менее 10 км от береговой линии.**



Калибровка SWH по данным альtimетрических измерений спутников

4. Для двухчастотных альтиметров отбраковывались данные не удовлетворяющие условию $|h_{swh_band_1} - h_{swh_band_2}| < 1$.
5. Значимые высоты волн отвечающие условию $h_{swh} < 0,2$ отбраковывались.
6. Данные альтиметрических измерений отбраковываются если:

$$|h_{swh} - \bar{h}_{swh}| / \sigma_{h_{swh}} > 2,$$

где \bar{h}_{swh} – среднее значение SWH на участке трека, который отобран для калибровки, $\sigma_{h_{swh}}$ – среднеквадратичное отклонение значимых высот волн на этом же интервале осреднения.

7. При наличии существенных выбросов в ряде измерений вдоль трека. Данные со всего трека отбрасывались если $\sigma_{h_{swh}} / h_{swh} > 0,5$.
8. Сглаживание данных вдоль трека фильтром Гаусса

$$h_{swh}(i) = \sum_{l=-n}^n h_{swh}(i-l) \cdot \frac{1}{\sqrt{2\pi}} \exp\left(-\frac{l^2}{2\sigma^2}\right),$$

где $l = 1$ – радиус размытия и $\sigma = 2,0$ – стандартное отклонение распределения Гаусса.

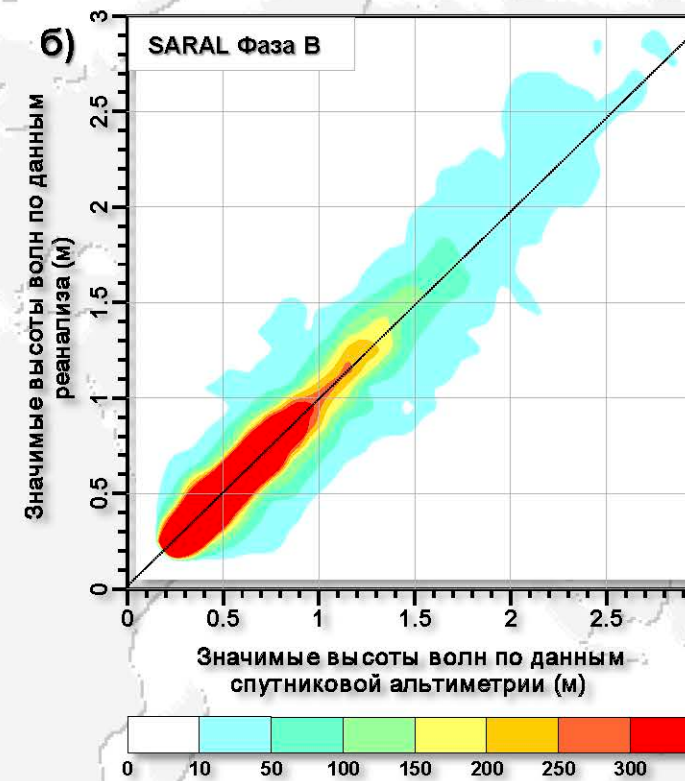
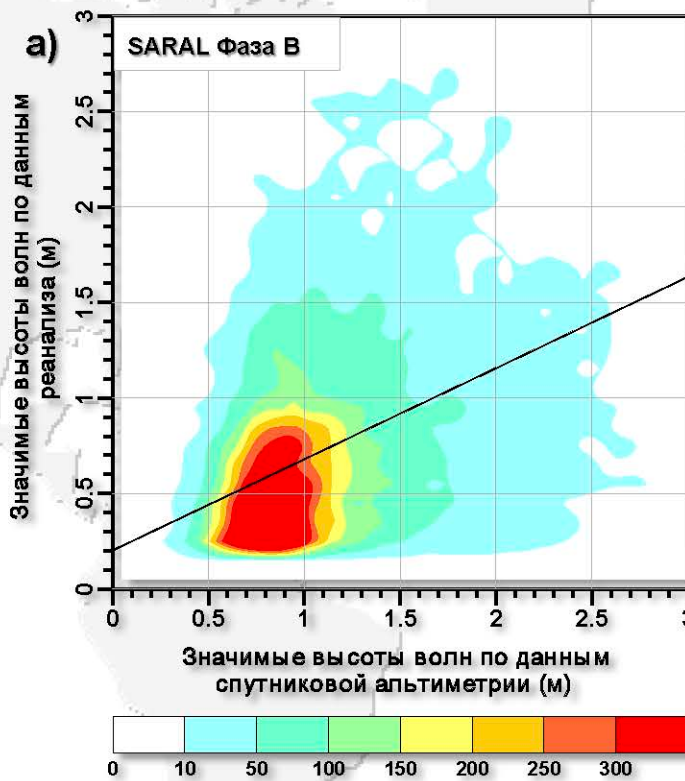


Калибровка SWH по данным альtimетрических измерений спутников

| Спутник | Число измерений | Коэффициенты линии регрессии | | <i>ME</i> | <i>SD</i> | <i>RMS E</i> | <i>SI</i> | <i>R</i> | <i>R</i> ² |
|-------------|-----------------|------------------------------|----------|-----------|-----------|--------------|-----------|----------|-----------------------|
| | | <i>b</i> | <i>a</i> | | | | | | |
| ERS-1 | 810795 | 0,0090 | 0,9878 | 0,0025 | 0,1651 | 0,1652 | 0,1694 | 0,9544 | 0,9893 |
| ERS-2 | 744835 | 0,1149 | 0,9736 | 0,0044 | 0,1747 | 0,1748 | 0,1913 | 0,9498 | 0,9680 |
| ENVISAT | 2070973 | 0,2612 | 0,9800 | 0,0034 | 0,1695 | 0,1696 | 0,1809 | 0,9533 | 0,9934 |
| CRYOSAT-2 | 731464 | 0,1066 | 0,9478 | 0,0087 | 0,1782 | 0,1784 | 0,2206 | 0,9459 | 0,9994 |
| SARAL | 1964669 | 0,1878 | 0,9597 | 0,0050 | 0,2175 | 0,2175 | 0,2602 | 0,9134 | 0,9950 |
| Sentinel-3A | 1739116 | 0,1458 | 0,9584 | 0,0057 | 0,2165 | 0,2166 | 0,2522 | 0,9132 | 0,9933 |

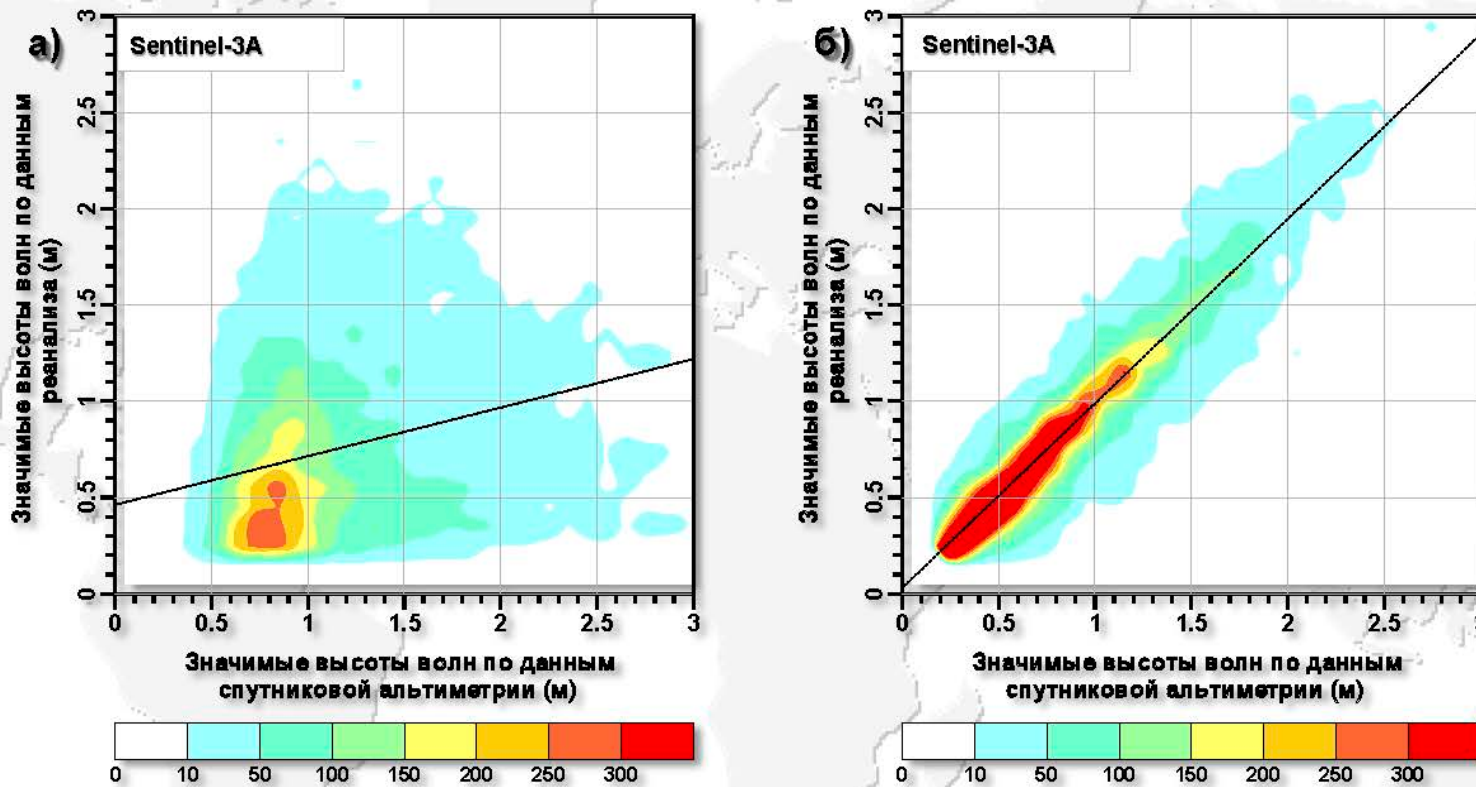
Двадцатая Всероссийская Открытая конференция «Современные проблемы дистанционного зондирования земли из космоса»
14-18 ноября 2022, Москва, Институт космических исследований РАН

Калибровка SWH по данным альtimетрических измерений спутника SARAL/Altika



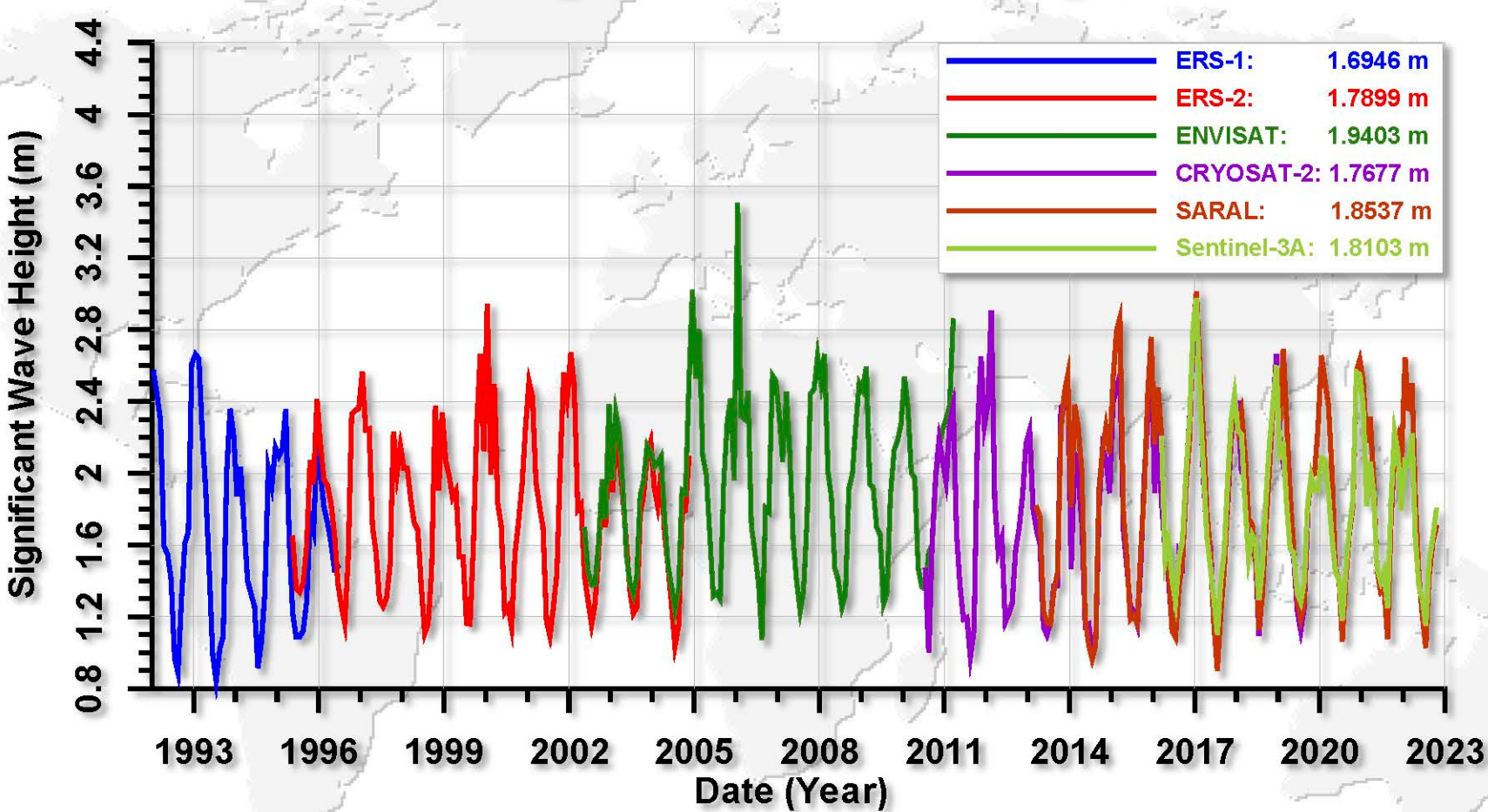
Диаграммы рассеивания альтиметрических измерений SWH спутника SARAL Фаза В за июля 2016 г. – декабрь 2020 г. до (а) и после (б) отбраковки данных и данных реанализа волнового поля .

Калибровка SWH по данным альtimетрических измерений спутника Sentinel-3A



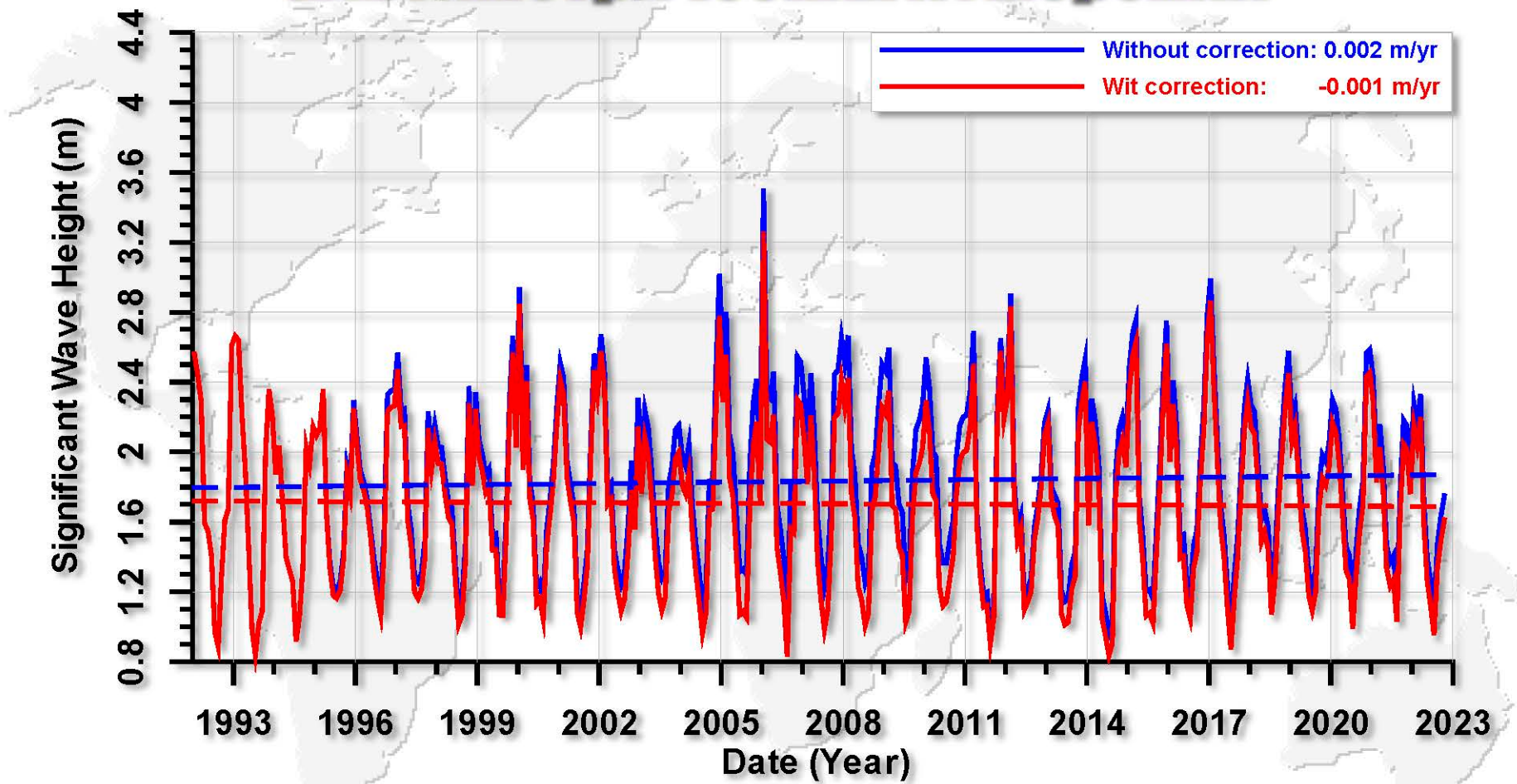
Диаграммы рассеивания альтиметрических измерений SWH спутника Sentinel-3A за март 2016 г. – декабрь 2020 г. до (а) и после (б) отбраковки данных и данных реанализа волнового поля .

Межгодовая изменчивость SWH по данным альtimетрических измерений



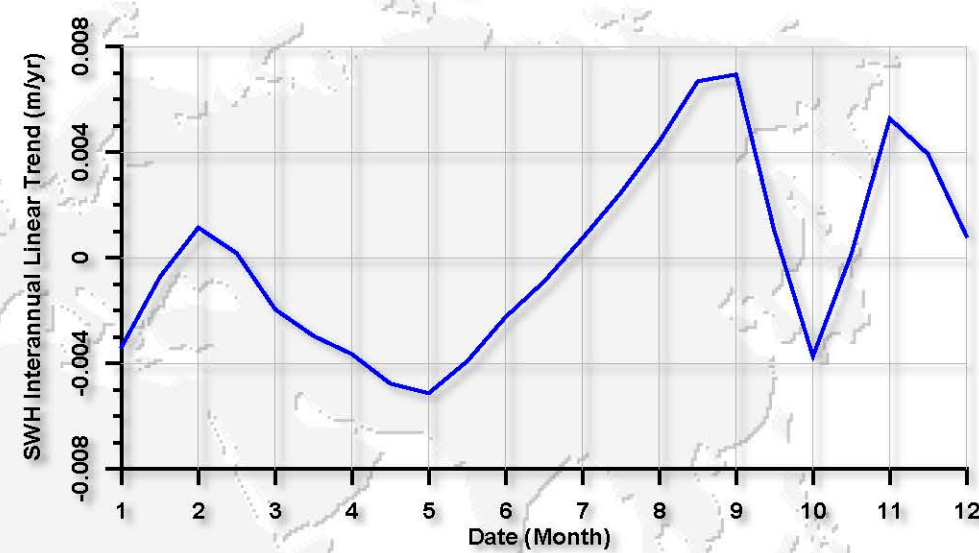
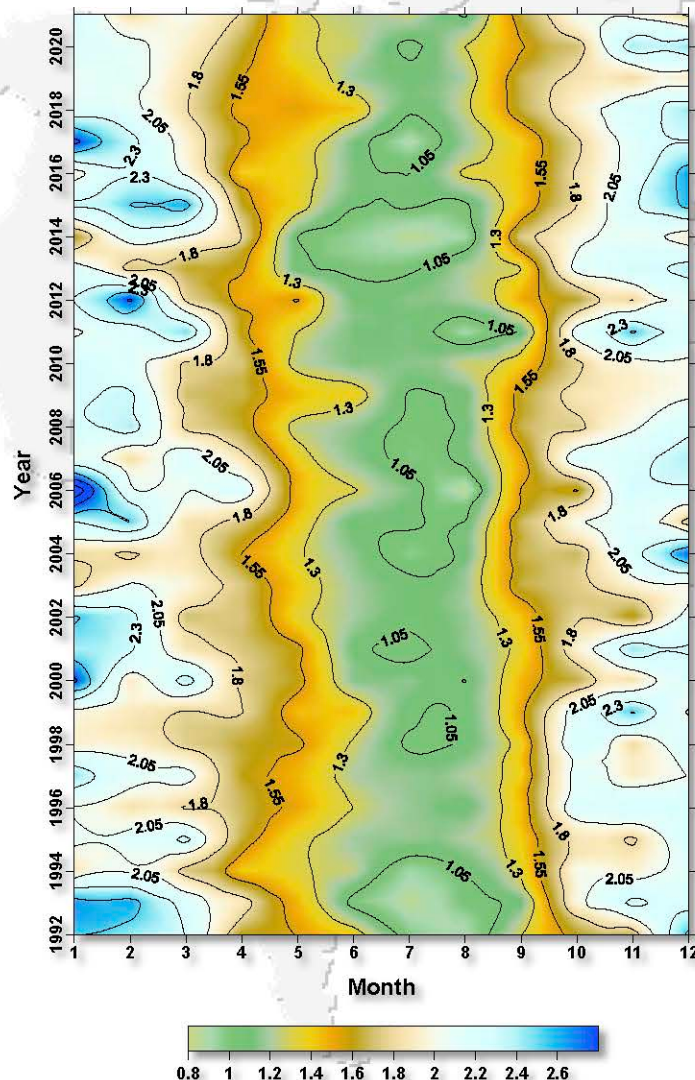
Временной ход SWH по данным спутников ERS-1/2, EnviSat, CryoSat-2, SARAL/AltiKa и Sentinel-3A/3B до приведения их к единой системе отсчета

Межгодовая изменчивость SWH по данным альtimетрических измерений



Временной ход SWH по данным спутников ERS-1/2, EnviSat, CryoSat-2, SARAL/AltiKa и Sentinel-3A/3B до приведения их к единой системе отсчета

Сезонная изменчивость SWH по данным альtimетрических измерений



Межгодовой тренд SWH по данным спутниковой альтиметрии

Сезонный ход SWH по данным спутников ERS-1/2, EnviSat, CryoSat-2, SARAL/AltiKa и Sentinel-3A/3B до приведения их к единой системе отсчета

Заключение

- Общая климатическая тенденция снижения значимых высот волн в Баренцевом море имеет тенденция к снижению -0,001 м/год
- Максимальная скорость значимых высот волн наблюдается более 0,001 м/год, а минимальная в мае -0,005 м/год.
- В целом можно сказать, что значительной межгодовой тенденции изменчивости значимых высот волн на акватории Баренцева моря не изменяется.

Исследование выполнено в рамках проекта РНФ № 21–77–30010 «Системный анализ динамики геофизических процессов в российской Арктике и их воздействие на развитие и функционирование инфраструктуры железнодорожного транспорта»



Спасибо за внимание

